АТОМНАЯ И ЭЛЕКТРОННАЯ СТРУКТУРА ДЕФЕКТНЫХ КОМПЛЕКСОВ N_i И ВАКАНСИЙ КИСЛОРОДА В HfO_2 И ИХ ВЛИЯНИЕ НА ТРАНСПОРТ ЗАРЯДА В МЕМРИСТОРАХ

 $T. \, B. \, \Pi$ еревалов $a^*, \, \mathcal{A}. \, P. \, \mathit{Исламов}^{a,b}, \, A. \, A. \, Чернов <math>a,b$

^а Институт физики полупроводников им. А. В. Ржанова Сибирского отделения Российской академии наук 630090, Новосибирск, Россия

^b Новосибирский государственный университет 630090, Новосибирск, Россия

Поступила в редакцию 17 сентября 2025 г., после переработки 17 октября 2025 г. Принята к публикации 27 октября 2025 г.

Работа посвящена теоретическому исследованию в рамках теории функционала плотности атомной и электронной структуры дефектных комплексов, образованных атомами никеля и кислородными вакансиями в HfO_2 . Рассматриваются как Ni в междоузельной позиции, так и в позиции замещения Hf. Показано, что Ni облегчает образование кислородных вакансий и их кластеризацию. Локализация носителей заряда происходит преимущественно на кислородных вакансиях, тогда как никель оказывает косвенное влияние на транспорт заряда. Комплексы никеля и вакансий кислорода не формируют мелких ловушек. Показано, что филаментарные структуры в виде непрерывных металлических цепочек в HfO_2 не обладают металлической проводимостью.

DOI: 10.7868/S3034641X25120124

1. ВВЕДЕНИЕ

Несмотря на прогресс в области разработки резистивной (мемристорной) памяти (RRAM), основанной на обратимом изменении сопротивления диэлектрической пленки при воздействии импульса напряжения, коммерчески доступные чипы на этой технологии пока имеют небольшую емкость [1]. Основными проблемами на пути повышения емкости RRAM являются нестабильность параметров и разброс характеристик от устройства к устройству [1]. Решение этих проблем требует глубокого понимания физических процессов, происходящих в диэлектрическом слое. Резистивное переключение происходит за счет разрыва и восстановления в диэлектрическом слое проводящего филамента, который формируется в результате первого переключения устройства в низкоомное состояние (т.н. формовка) [2]. Состав и структура филамента все еще являются предметом исследований, направленных на оптимизацию и повышение надежности мемристоров, а также на реализацию аналоговых переключений и нейроморфные вычисления [2, 3].

В качестве активного слоя мемристорных металл-диэлектрик-металл структур наиболее технологичным материалом является оксид гафния, поскольку он сочетает совместимость с технологией комплементарных металл-оксидполупроводниковых (КМОП) процессов, высокую диэлектрическую проницаемости, а также химическую и термическую стабильность [4]. Одним из популярных материалов электродов в мемристорах на основе HfO₂ является Ni, благодаря его относительно низкой стоимости и хорошей адгезии к оксидным слоям [5-24]. Использование Ni в качестве электрода в RRAM на основе HfO₂ демонстрирует ряд достоинств: окно памяти $\sim 10^3$ [5-11], улучшенная воспроизводимость и однородность переключений по сравнению с электродами из Pt, TiN, Та и Cu [12,13], а также совместимость с 3D-интеграцией при использовании Ni в качестве межсоединений [14-17]. Однако роль Ni в резистивном переключении остается предметом дискуссий.

^{*} E-mail: timson@isp.nsc.ru

В работах [13, 18–20] утверждается, что филамент в структурах металлический и формируется из атомов Ni, мигрирующих из электрода, тогда как авторы исследований [11, 21, 22] для аналогичных структур придерживаются модели филамента из вакансий кислорода (V_O) в оксиде гафния. В работе [10] предлагается схема переключения с участием и Ni, и V_O в зависимости от полярности напряжения на Ni электроде. В работах [6, 8] предполагается, что роль Ni ограничивается формированием интерфейсного слоя NiO $_x$ на границе Ni/HfO $_2$.

Ni-филаменты обычно связывают с униполярным переключением RRAM [10, 13, 16, 18–20], а V_Oфиламенты — с биполярным [8,11,21], однако в работе [14] оба типа переключения объясняются формированием Vo. Исследуемые в работах [11, 22–24] механизмы транспорта заряда в мемристорах на основе Ni/HfO2 объединяет установленные факты о транспорте заряда по дефектам, предположительно V_O, формирующим ловушки с энергией ионизации порядка нескольких сотен мэВ. Однако VO в HfO₂ являются глубокими ловушками с энергий активации около 1 эВ [25, 26]. Естественно предположить, что в роли мелких ловушек могут выступать комплексы из атомов Ni, продиффундировавших в оксид, и вакансий (поливакансий) кислорода. Исследований, позволяющих установить возможность образования таких дефектов, на данный момент не проводилось.

Исследование влияния Ni в матрице HfO2 на атомную и электронную структуру VO является актуальной задачей для разрешения вышеописанных разногласий. Эффективным инструментом для решения этой задачи является квантово-химическое моделирование. Существующие теоретические исследования HfO₂, легированного Ni, сильно ограничены [19, 27-30]. По данным расчетов, Ni может инжектироваться в виде ионов Ni^{+2} в HfO_2 под действием электрического поля и температуры, облегчает формирование Vo, обуславливает рост плотности электронных состояний вблизи уровня Ферми. Результаты работ [27-29] указывают на то, что Ni способствует формированию филаментов в HfO₂ с транспортом заряда по дефектным комплексам Ni-Vo.

Целью настоящей работы является установление с помощью квантово-химического моделирования атомной и электронной структуры дефектных комплексов из атомов Ni (замещающего и междо-узельного) и вакансий кислорода в HfO_2 , их способности формировать мелкие ловушки для носителей заряда и участвовать в транспорте заряда.

2. МЕТОДИКА

Моделирование осуществлялось в рамках спинполяризованной теории функционала плотности (ТФП) в модели периодических ячеек с гибридным обменно-корреляционным функционалом HSE06 в программном пакете Quantum ESPRESSO [31]. Оптимизация структуры выполнялась с обменнокорреляционным функционалом PBEsol. Моделировался HfO₂ в моноклинной фазе, являющейся наиболее стабильной и близкой по физическим свойствам к аморфной фазе. Расчеты проводились с использованием оптимизированных сохраняющих норму псевдопотенциалов Вандербильта и энергии отсечки плосковолнового базиса 1088 эВ (80 Ry). Используемая методика дает корректное значение ширины запрещенной зоны (5.8 эВ) m-HfO₂ [32]. Дефектные комплексы моделировались в 96- и 192-атомных суперячейках HfO₂ с атомом N_{i} в междоузельной позиции (N_{int}), а также с замещением одного Hf на Ni (Ni_{sub}). Структуры HfO₂ с замещением О на Ni не рассматривались, т.к. они релаксируют в $Ni_{int} + V_O$. Положение Ni_{int} находилось перебором потенциальных междоузельных позиций и выбором такой, для которой энергия системы минимальна. Энергии формирования (E_{form}) Ni_{int} и Ni_{sub} рассчитывались по следующим формулам:

$$E_{form}(\text{Ni}_{int}) = E(\text{Ni}_{int}) - E_p - \mu(\text{Ni}),$$

$$E_{form}(\text{Ni}_{sub}) = E(\text{Ni}_{sub}) - E_p - \mu(\text{Ni}) + \mu(\text{Hf}),$$

$$\mu(\text{Ni}) = E(\text{NiO}) - \mu(\text{O}),$$

$$\mu(\text{Hf}) = E(\text{HfO}_2) - 2\mu(\text{O}).$$
(1)

Здесь E_p — энергия идеальной (бездефектной) суперячейки; $E(\mathrm{Ni}_{int})$ и $E(\mathrm{Ni}_{sub})$ — энергия суперячейки с Ni_{int} и Ni_{sub} , соответственно; $\mu(\mathrm{Ni})$, $\mu(\mathrm{Hf})$ и $\mu(\mathrm{O})$ — химические потенциалы Ni , Hf и $\mathrm{O.}$ $\mu(\mathrm{O})$ рассчитывался в трех приближениях: так называемый «O-rich» предел, когда атом O уходит из кристалла в вакуум, «O-poor1» предел, когда атом O уходит из узла оксида на окисление Hf (модель границы $\mathrm{Hf}/\mathrm{HfO_2}$) и «O-poor2» предел, когда атом O уходит из узла оксида на окисление Ni (модель границы $\mathrm{Ni}/\mathrm{HfO_2}$):

$$\mu(O)_{O\text{-rich}} = \frac{1}{2}E(O_2),$$

$$\mu(O)_{O\text{-poor}1} = \frac{1}{2}(E(HfO_2) - E(Hf)),$$

$$\mu(O)_{O\text{-poor}2} = E(NiO) - E(Ni).$$
(2)

Здесь $E(O_2)$ — энергия молекулы кислорода в триплетном состоянии; $E(HfO_2)$ и E(NiO) — энергии

структурных единиц HfO_2 и $\mathrm{NiO};\ E(\mathrm{Hf})$ и $E(\mathrm{Ni})$ — энергии атомов Hf и Ni в соответствующем металле.

Для каждой из структур HfO_2 :Ni устанавливалось энергетически выгодное (с наименьшей E_{form}) положение от 1 до 5 V_O путем расчета всех возможных конфигураций. E_{form} каждой последующей V_O в HfO_2 :Ni рассчитывалась для двух зарядовых состояний (q=0,+2), как наиболее стабильных [33], по формуле

$$E_{form}(\mathbf{V}_{\mathbf{O}}^q) = E_d(\mathbf{V}_{\mathbf{O}}^q) - E_{init} + \mu(\mathbf{O}) + q(E_v + E_F + \Delta V),$$

где E_{init} и $E_d(V_O^q)$ — полные энергии суперячейки без и с дополнительной V_O , соответственно; E_v — расчетное значение энергии потолка валентной зоны кристалла без дополнительной V_O ; E_F — уровень Ферми относительно E_v ; ΔV — поправка, необходимая для выравнивания E_v кристаллов с V_O и без. Интерес к положительно заряженным системам обусловлен тем, что именно $E_{form}(V_O^{+2})$ имеет минимальное значение. Это косвенно указывает на преимущественную генерацию V_O^{+2} в оксидном слое RRAM структуры при инжекции в него дырок из металла с достаточно большой работой выхода.

Энергии ловушки оценивались, как выигрыш в энергии при захвате электрона ΔE_e со дна зоны проводимости объемного кристалла и дырки ΔE_h с потолка валентной зоны на дефект по стандартным формулам [34]:

$$\Delta E_{e/h} = (E_p^{-1/+1} + E_d^{-1/+1}) - (E_p^0 + E_d^0).$$

Здесь E_p и E_d — полная энергии исходной и дефектной суперячейки, соответственно, а верхние индексы обозначают полный заряд суперячейки.

3. РЕЗУЛЬТАТЫ И ОБСУЖДЕНИЕ

В результате проведенного моделирования выявлено, что $E_{form}(\mathrm{Ni}_{sub})$ меньше, чем $E_{form}(\mathrm{Ni}_{int})$ в случае объема стехиометрического $\mathrm{HfO_2}$ (O-rich предел) и для границы $\mathrm{Ni/HfO_2}$ (О-poore2), однако для границы $\mathrm{Hf/HfO_2}$ (или сильно обедненного кислородом $\mathrm{HfO_2}$) значительно выгоднее формирование Ni_{int} (см. таблицу). Важно отметить, что термодинамическая выгодность Ni_{sub} не гарантирует преимущественного образования этого типа дефектов, поскольку энергетический барьер процесса формирования Ni_{sub} очевидно выше, чем для Ni_{int} , ввиду необходимости удаления атома Hf из узла. Естественно ожидать, что в мемристорах на основе структур $\mathrm{Ni/HfO_2}$ превалируют именно Ni_{int}

Таблица. Значения E_{form} (в эВ) Ni_{int} и Ni_{sub} в m-HfO₂ и m-HfO₂ + V_O, рассчитанные для трех значений химического потенциала $\mu(\mathrm{O})$ (2)

	O-rich		O-poor1		O-poor2	
	Ni_{int}	Ni_{sub}	Ni_{int}	Ni_{sub}	Ni_{int}	Ni_{sub}
0 V_{O}	6.2	3.1	0.6	8.7	5.1	4.2
1 V_{O}	2.8	-5.7	-2.8	-0.1	1.7	-0.1

дефекты, и это согласуется с результатами предшествующих расчетов [35]. Однако о возможности формирования именно Ni_{sub} свидетельствуют экспериментальные данные для легированного никелем HfO_2 [36]. Также отметим, что в приведенной таблице большую ценность имеют именно относительные значения E_{form} , тогда как абсолютные имеют зависимость от расчетной модели и методики.

Установлено, что E_{form} для Ni_{int} и Ni_{sub} существенно уменьшается при добавлении в кристалл $\mathrm{V_O}$ (см. таблицу). Это однозначно указывает на то, что в реальных структурах Ni преимущественно локализуется вблизи $\mathrm{V_O}$. Отрицательные значения $E_{form}(\mathrm{Ni}_{sub})$ вблизи $\mathrm{V_O}$ для любых значений $\mu(\mathrm{O})$ свидетельствуют об энергетической выгодности замещения Hf на Ni . Это объясняется тем, пара электронов от $\mathrm{V_O}$, которые заполняют глубокий уровень в запрещенной зоне $\mathrm{HfO_2}$, уходит на пустые состояния вблизи потолка валентной зоны, появляющиеся в результате такого замещения. Таким образом, в случае Ni_{sub} $\mathrm{V_O}$ дважды положительно заряжена $(\mathrm{V_O^{+2}})$, тогда как в случае Ni_{int} $\mathrm{V_O}$ нейтральна.

Наличие Ni в кристалле как в междоузельной позиции, так и в позиции замещения уменьшает энергию формирования 1-5 кислородных вакансий, причем с ростом числа вакансий влияние Ni уменьшается (рис. 1). При этом все VO находятся вблизи атома Ni: среднее расстояние от Ni до положения удаленного атома О около 2 А. Данные утверждения справедливы и для ситуации наличия в системе двух дырок (q = +2). В данном случае расчеты осуществлялись только в O-rich пределе и при положении E_F посередине запрещенной зоны: другие случаи значений $\mu(O)$ и E_F качественно не меняют полученные зависимости, влияя только на абсолютные значения. Как можно видеть, в случае $Ni_{sub} E_{form}(V_O)$ близка к 0 (в случае O-poore предела $E_{form}(V_O) < 0$). Это указывает на возможность самопроизвольной генерации VO за счет выталкивания атома из узла решетки в междоузлие. Ана-

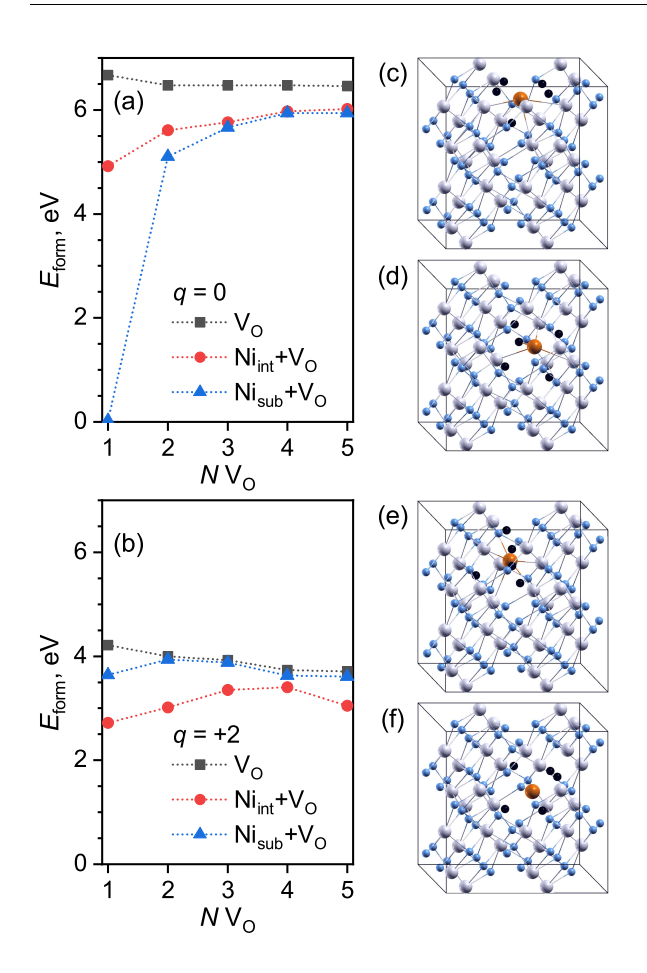


Рис. 1. Значения E_{form} 1-й, 2-й, 3-й, 4-й и 5-й V $_{\rm O}$ в суперячейках HfO $_{\rm 2}$, HfO $_{\rm 2}$ + Ni $_{int}$ и HfO $_{\rm 2}$ + Ni $_{sub}$ с зарядом q=0 (a) и q=+2 (b). Нейтральные (c,d) и заряженные (e,f) суперячейки HfO $_{\rm 2}$ + Ni $_{int}$ (c,e) и HfO $_{\rm 2}$ + Ni $_{sub}$ (d,f) с обозначением оптимального положения пяти V $_{\rm O}$. Hf — серый цвет, O — голубой, Ni — оранжевый, V $_{\rm O}$ — черный

логичное поведение было продемонстрировано ранее для случая HfO_2 , легированного La [37]. Для нейтральных систем $E_{form}(\mathrm{V_O})$ вблизи Ni_{sub} незначительно меньше, чем вблизи Ni_{int} (за исключением первой вакансии, которая в случае Ni_{sub} является $\mathrm{V_O^{+2}}$). Для систем с избыточным положительным зарядом, напротив, E_{form} заметно меньше для $\mathrm{V_O}$ вблизи Ni_{int} . Таким образом, присутствие Ni в матрице $\mathrm{HfO_2}$ облегчает генерацию не только вакансий кислорода, но и поливакансий, причем вблизи атома Ni .

 ${
m Ni}_{int}$ в структуре ${
m HfO}_2$ находится в нейтральном состоянии (${
m Ni}^0$), тогда как ${
m Ni}_{sub}$ имеет степень окисления +4. Стабильность столь высокой степени окисления ${
m Ni}^{4+}$ ранее была продемонстрирована для ${
m ZrO}_2$ с ${
m Ni}_{sub}$ (${
m ZrO}_2$ и ${
m HfO}_2$ являются изоструктурными и изовалентными оксидами) и объясняет-

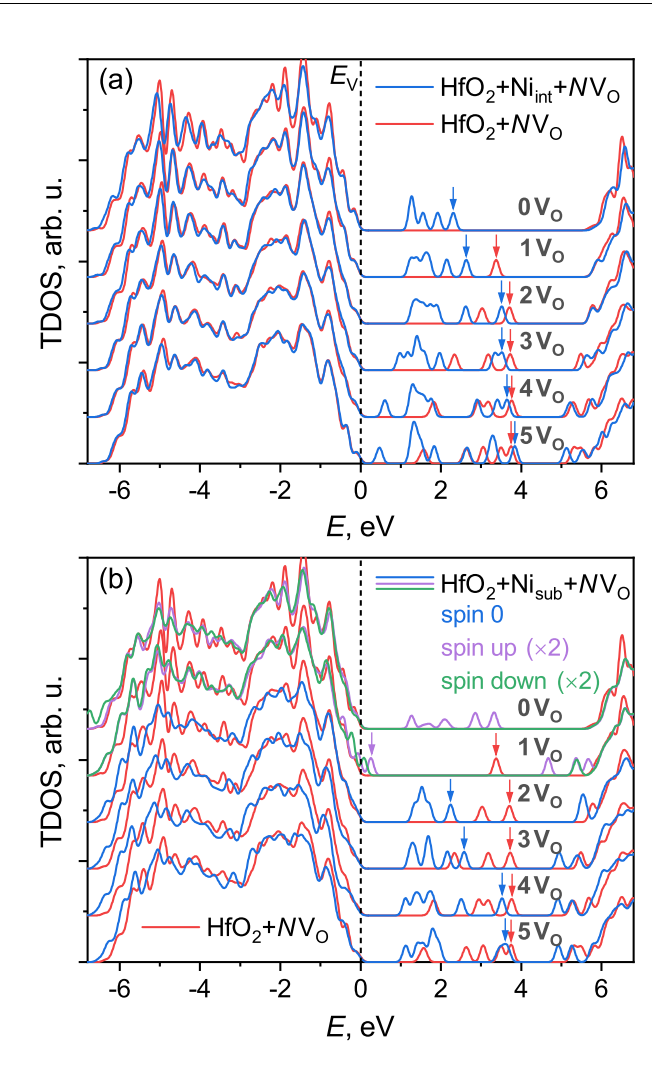


Рис. 2. Спектры TDOS: HfO_2 и HfO_2+Ni_{int} с комплексами V_O (a), а также HfO_2 и HfO_2+Ni_{sub} с комплексами V_O (b). Стрелками указано положение последнего заполненного уровня соответствующих структур. Ноль энергии отвечает положению E_v . Спектры сглажены функцией Гаусса с $\sigma = 0.1$ эВ

ся сильным октаэдрическим полем ионов O^{2-} , значительно усиливающим расщепление d-уровней Ni [38]. Ni $_{int}$ обуславливает формирование в запрещенной зоне HfO $_2$ пяти заполненных уровней, а каждая дополнительная V_O добавляет еще по одному уровню, о чем свидетельствуют расчетные спектры полной плотности электронных состояний (TDOS) (рис. 2 a). Ni $_{int}$ является диамагнитный дефектом: спин системы в основном состоянии равен нулю. В кристалле с Ni $_{sub}$ без V_O и с одной V_O в запрещенной зоне наблюдаются только пустые дефектные уровни, при этом структура имеет отличную от нуля намагниченность: суммарный магнитный момент 4 и 2μ Б, соответственно (рис. 2 b). Дефект

ный комплекс с большим числом вакансий кислорода (N>1) является диамагнитным. Спектр TDOS структуры $Ni_{sub} + 1V_{O}$, в частности, демонстрирует уход пары локализованных на глубоком уровне электронов от V_{Ω} на уровни вблизи E_{v} . Дальнейшее добавление VO приводит к появлению набора заполненных уровней в запрещенной зоне. Ni_{sub} сильнее меняет электронную структуру оксида, чем Ni_{int}, что видно по изменению спектра TDOS. Для обоих типов структур HfO_2 :Ni, как и для HfO_2 , характерно то, что увеличение числа VO повышает плотность электронных состояний только в области примерно до $4 \, \mathrm{sB}$ выше E_v . Дно зоны проводимости с ростом числа $V_{\rm O}$ смещается в запрещенную зону не более чем на 0.8 эВ. Таким образом, кристалл HfO₂:Ni с комплексом VO имеет полупроводниковую запрещенную зону около 1 эВ.

Энергии локализации электрона ΔE_e , как и дырки ΔE_h , на дефектных комплексах $\mathrm{Ni}_{int}+N\mathrm{V_O}$ (N=1–5) практически совпадают с таковыми для комплексов $N\mathrm{V_O}$ (рис. 3). Это указывает на то, что локализация заряда осуществляется на $\mathrm{V_O}$, а не Ni . Положительные значения ΔE_e и ΔE_h свидетельствуют о возможной локализации и электронов, и дырок, однако в транспорте заряда могут участвовать только электроны, тогда как для дырок глубина потенциальной ямы слишком велика и, соответственно мала вероятность ионизации таких ловушек. Энергия локализации электрона на $\mathrm{Ni}_{int}+N\mathrm{V_O}$ (как и на $N\mathrm{V_O}$) увеличивается с ростом N, при этом $\mathrm{Ni}_{int}+N\mathrm{V_O}$ (как и $N\mathrm{V_O}$) не являются мелкими ловушками.

Комплексы $Ni_{sub} + NV_O$ (N=1–5) являются заметно более глубокими ловушками для электрона, чем $Ni_{int} + NV_O$ и NV_O . Для дырки дефектные комплексы $Ni_{sub} + NV_O$ при N>1 также являются глубокими ловушками. Случай $Ni_{sub} + 1V_O$ выделяется тем, что тут V_O имеет заряд +2, и дырка добавляется на обусловленный Ni уровень вблизи E_v . Таким образом, в транспорте заряда способны участвовать только комплексы $Ni_{sub} + 1V_O$, и этот транспорт дырочный, а энергия ловушки около 1 эВ.

Поскольку все расчеты проводились единообразно, то относительная точность расчетов ΔE_e и ΔE_h достаточно высока для получения надежных качественных результатов. Однако абсолютные значения включают в себя систематические ошибки метода, связанные с произволом выбора обменнокорреляционного функционала и псевдопотенциалов, а также с отсутствием учета разницы в энергии между вкладами от компенсирующего фонового заряда для дефектных и бездефектных суперячеек.

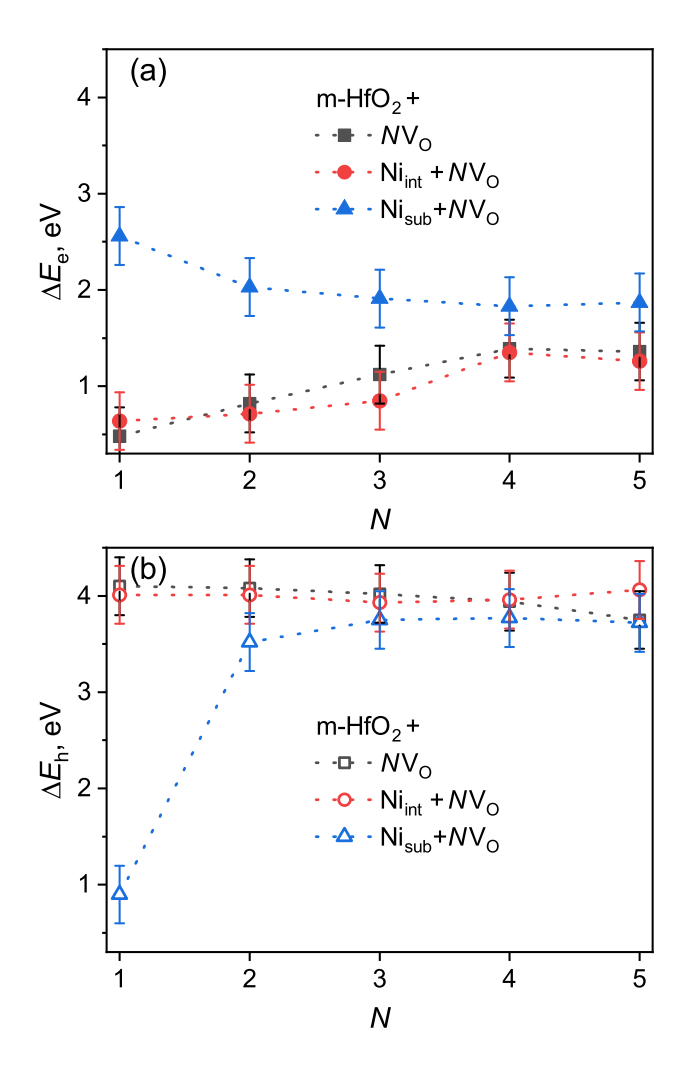


Рис. 3. Значения энергии локализации носителей заряда из объема HfO_2 на дефектный комплекс $NV_{\rm O}$ (черные символы), $Ni_{int}+NV_{\rm O}$ (красные символы) и $Ni_{sub}+NV_{\rm O}$ (синие символы): (a) для электрона, (b) для дырки. Разброс значений ± 0.3 эВ обусловлен систематической ошибкой метода

Величина абсолютной ошибки составляет не более $0.3\,\mathrm{pB}$, судя по анализу соответствующей литературы, и эта величина меньше, чем полученные значения ΔE_e и ΔE_h (рис. 3). Более того, основываясь на факте, что V_O в HfO_2 является ловушкой с энергией около $1\,\mathrm{pB}$ [25, 26], можно ожидать, что рассчитанные значения ΔE_e получены заниженными. Таким образом, согласно проведенным расчетам, дефектные комплексы $\mathrm{Ni}_{int}+N\mathrm{V}_O$ и $\mathrm{Ni}_{sub}+N\mathrm{V}_O$ (N=1-5) не являются мелкими ловушками, ответственными за транспорт заряда в мемристорных структурах на основе $\mathrm{Ni}/\mathrm{HfO}_2$. Единственным возможным кандидатом на роль мелкой ловушки может выступать Ni_{int} без V_O , для которого получено $\Delta E_e = -0.2\,\mathrm{pB}$,

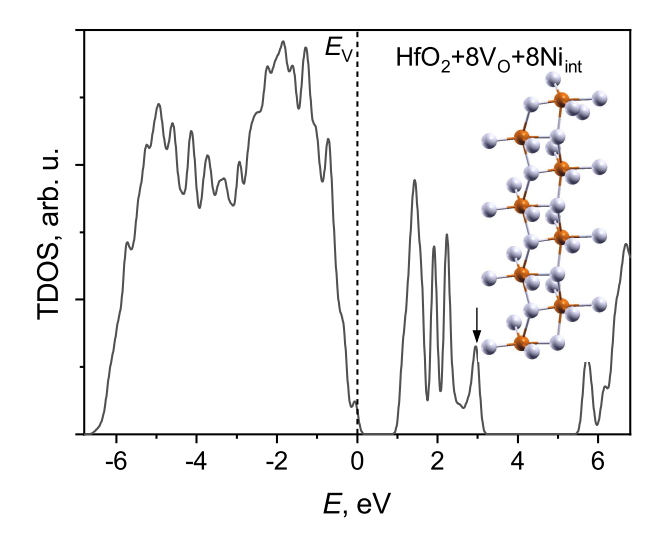


Рис. 4. Спектры TDOS HfO_2 с цепочкой из 8-ми V_O и 8-ми Ni_{int} . На вставке представлен фрагмент рассчитываемой 192-атомной суперячейки из атомов Ni и ближайших к ним Hf

при условии, что систематическая недооценка метода составляет 0.2–0.3 эВ. Данная гипотеза нуждается в проверке с привлечением более точных расчетных подходов.

В качестве возможной структуры филамента была рассмотрена линейная цепочка из 8 вакансий кислорода в 192-атомной суперячейке HfO₂, в которую последовательно добавлялись от одной до 8 междоузельных атомов Ni в оптимальные по энергии позиции. Дефектный комплекс $Ni_{int} + V_O$ в суперячейке формирует непрерывную цепочку из атомов металла –2Hf–Ni–, как можно видеть на вставке на рис. 4. Однако расчетный спектр TDOS данной структуры демонстрирует запрещенную зону шириной около 2 эВ. Следовательно, проводимость такой одномерной цепочки из атомов металла не является металлической. Поэтому транспорт в такой цепочке может быть рассмотрен как Марковские прыжки между состояниями локализованных носителей заряда на дефектах в диэлектрике для коротких цепочек [39] либо в рамках уравнения непрерывности для длинных цепочек дефектов в диэлектрике [40].

Установлено, что не только вакансиям кислорода выгодно кластеризоваться вблизи Ni_{int} , но и для нескольких (от 1 до 3) Ni_{int} энергетически предпочтительнее находиться вблизи $\mathrm{V_O}$. В связи с этим была рассчитана атомная и электронная структура $\mathrm{HfO_2}$ с комплексами из $\mathrm{V_O}$ и Ni_{int} , причем с оптимальным по полной энергии положением Ni_{int} . Расчеты осуществлялись для трех форм 192-атомных суперячеек, полученных трансляцией

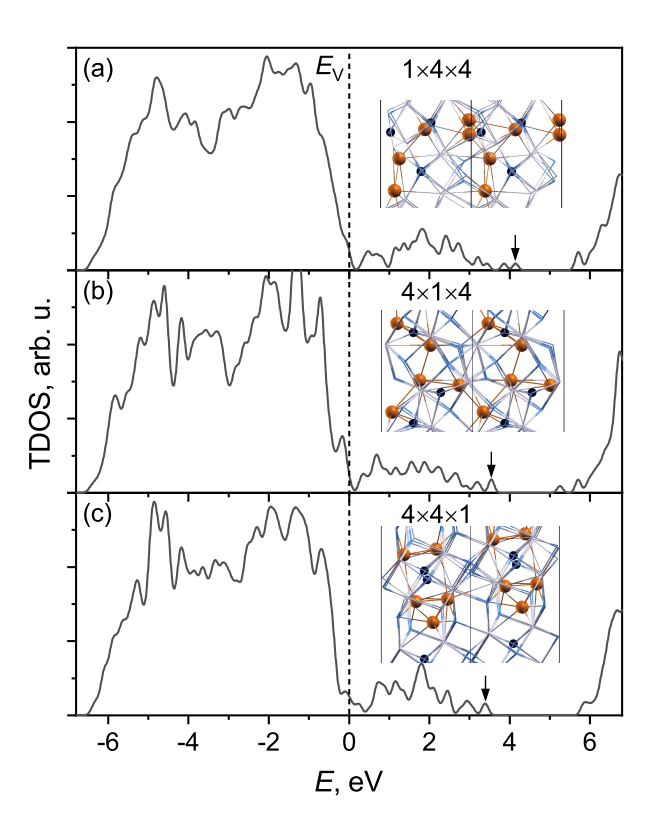


Рис. 5. Спектры TDOS для суперячеек HfO_2 , полученных различной трансляцией примитивной ячейки, содержащих по $3\ V_O$ и $5\ Ni_{int}$: (a) $1\times4\times4$, (b) $4\times1\times4$, (c) $4\times4\times1$. На вставках соответствующие фрагменты суперячейки дважды транслированные: Ni — оранжевый цвет, V_O — черный

 $1 \times 4 \times 4$, $4 \times 1 \times 4$ и $4 \times 4 \times 1$ примитивной ячейки с целью формирования непрерывной Ni цепочки вдоль короткого края суперячейки. Установлено, что непрерывная цепочка из близко расположенных друг к другу Ni_{int} получается в дефектных комплексах из трех V_O и пяти Ni_{int} в суперячейках с трансляциями $1 \times 4 \times 4$ и $4 \times 1 \times 4$ (рис. 5). Однако даже для такой модели филамента, представляющего собой непрерывную цепочку атомов Ni, в спектре плотности электронных состояний наблюдается запрещенная зона 1–2 эВ. Такая цепочка из Ni также не обладает металлической проводимостью. Однако такая цепочка может выступать в роли проводящего филамента, если взять в расчет высказанное выше предположение, что Ni_{int} может выступать в роли мелкой ловушки.

4. ЗАКЛЮЧЕНИЕ

В настоящей работе с помощью моделирования в рамках $T\Phi\Pi$ показано, что в HfO_2 дефекты внедрения и замещения Ni образуют комплексы

с вакансиями кислорода: Ni облегчает формирование нескольких близко расположенных VO, тогда как сами V_O - нескольких Ni_{int}. Увеличение числа вакансий в дефектных комплексах приводит к уменьшению ширины запрещенной зоны до ~ 1 эВ. Показано, что локализация носителей заряда в комплексах $Ni_{int} + NV_{O}$ осуществляется на вакансиях, т.е. Ni_{int} в таких комплексах непосредственно в транспорте заряда не участвует. В случае Ni_{sub} в транспорте может участвовать только комплекс $Ni_{sub} + 1V_{O}$, причем это дырочный транспорт. Показано, что $Ni_{int} + NV_O$ и $Ni_{sub} + NV_O$ (N = 1-5) не формируют мелких ловушек, ответственных за транспорт заряда в мемристорах. Однако высказано предположение, требующее подтверждения, что мелкими ловушками для электронов являются изолированные атомы Ni_{int}. Филаментарные дефектные структуры в виде комплексов из нескольких Ni_{int} и V_O , которые образуют непрерывные цепочки из атомов металла (Ni-Hf и Ni-Ni), могут являться проводящими каналами, однако с неметаллическим типом проводимости. Важно отметь, что этот результат относится к модельному объекту, тогда как объемные дефектные комплексы толщиной порядка 1 нм, характерные для филаментов в реальных RRAM-элементах, в данной работе не исследовались. Таким образом, согласно выполненным модельным расчетам, основная роль Ni в объеме HfO₂ состоит в облегчении генерации вакансий кислорода и их кластеризации, тогда как Ni слабо влияет на транспорт заряда по этим вакансиям, незначительно снижая энергию ловушки для электронов.

Благодарности. Квантово-химическое моделирование осуществлялось на вычислительном кластере ИВЦ НГУ.

Финансирование. Работа выполнена при поддержке Российского научного фонда, грант № 24-19-00650.

ЛИТЕРАТУРА

- M. Hellenbrand, I. Teck, and J. L. MacManus-Driscoll, MRS Communications 14, 1099 (2024).
- И. В. Бойло, К. Л. Метлов, ЖЭТФ 168, 569 (2025)
 I. V. Boylo and K. L. Metlov, JETP 141 (2025)
- D. Ielmini and G. Pedretti, Chem. Rev. 125, 5584 (2025).
- Z. Wang, H. Wu, G. W. Burr et al., Nat. Rev. Mat. 5, 173 (2020).

- 5. D. Y. Lu, X. A. Tran, H. Y. Yu et al., in 2013 IEEE 10th International Conference on ASIC (ASICON 2013), Shenzhen, China (2013), p. 1.
- **6.** X. A. Tran, H. Y. Yu, Y. C. Yeo et al., IEEE Electron Device Lett. **32**, 396 (2011).
- **7**. K. Zhang, K. Sun, F. Wang et al., IEEE Electron Device Lett. **36**, 1018 (2015).
- 8. X. A. Tran, W. Zhu, W. J. Liu et al., IEEE Transactions on Electron Devices 60, 391 (2012).
- 9. M. B. Gonzalez, J. Martin-Martinez, M. Maestro et al., IEEE Transactions on Electron Devices 63, 3116 (2016).
- A. Rodriguez-Fernandez, S. Aldana, F. Campabadal et al., IEEE Transactions on Electron Devices 64, 3159 (2017).
- M. J. Yun, D. Lee, S. Kim et al., Mater. Character. 182, 111578 (2021).
- **12**. X. P. Wang, Z. Fang, Z. X. Chen et al., IEEE Electron Device Lett. **34**, 508 (2013).
- **13**. K. L. Lin, T. H. Hou, J. Shieh et al., J. App. Phys. **109**, 084104 (2011).
- J. J. Huang, Y. M. Tseng, C. W. Hsu, and T. H. Hou, IEEE Electron Device Lett. 32, 1427 (2011).
- K. Lahbacha, F. Zayer, H. Belgacem et al., IEEE Open J. Nanotechnol. 2, 111 (2021).
- **16**. F. Zayer, K. Lahbacha, W. Dghais et al., in 2019 IEEE 23rd Workshop on Signal and Power Integrity (SPI), Chambéry, France (2019), p. 1.
- 17. Z. Fakhreddine, K. Lahbacha, A. Melnikov et al., IEEE Transactions on Electron Devices 68, 88 (2020).
- X. Wu, S. Mei, M. Bosman et al., Advan. Electronic Mater. 1, 1500130 (2015).
- Y. Yin Chen, G. Pourtois, C. Adelmann et al., Appl. Phys. Lett. 100, 113513 (2012).
- M. B. Gonzalez, J. M. Rafí, O. Beldarrain et al., IEEE Transactions on Device and Mater. Reliability 14, 769 (2014).
- 21. H. H. Le, W. C. Hong, J. W. Du et al., in 2020 4th IEEE Electron Devices Technology and Manufacturing Conference (EDTM), Penang, Malaysia (2020), p. 1.
- V. A. Voronkovskii, V. S. Aliev, A. K. Gerasimova, and D. R. Islamov, Mater. Res. Express 6, 076411 (2019).

- M. B. Gonzalez, J. Martin-Martinez, M. Maestro et al., IEEE Transactions on Electron Devices 63, 3116 (2016).
- 24. В. А. Воронковский, А. К. Герасимова, В. III. Алиев, Письма в ЖЭТФ 117, 550 (2023) [V. A. Voronkovskii, А. K. Gerasimova, and V. Sh. Aliev, JETP Lett. 117, 546 (2023)].
- **25**. V. A. Gritsenko, T. V. Perevalov, and D. R. Islamov, Physics Reports **613**, 1 (2016).
- A. Kumar, S. Mondal, and K. S. R. Koteswara Rao, J. Appl. Phys. 135, 045305 (2024).
- E. A. Khera, H. Ullah, M. Imran et al., Surface Rev. Lett. 28, 2150039 (2021).
- E. A. Khera, H. Ullah, M. Imran et al., Optik 212, 164677 (2020).
- R. Sharma, S. A. Dar, and A. K. Mishra, J. Alloys and Compounds 791, 983 (2019).
- K. Zhong, G. Xu, J. M. Zhang et al., Mater. Chem. Phys. 174, 41 (2016).
- I. Carnimeo, F. Affinito, S. Baroni et al., J. Chem. Theory and Computation 19, 6992 (2023).

- E. Hildebrandt, J. Kurian, and L. Alff, J. Appl. Phys. 112, 114112 (2012).
- **33**. Y. Guo and J. Robertson, Microelectronic Engineering **147**, 339 (2015).
- **34**. D. Munoz Ramo, J. L. Gavartin, A. L. Shluger, and G. Bersuker, Phys. Rev. B **75**, 205336 (2007).
- D. Duncan, B. Magyari-Köpe, and Y. Nishi, Phys. Rev. Appl. 7, 034020 (2017).
- E. Hildebrandt, M. B. Yazdi, J. Kurian et al., Phys. Rev. B 90, 134426 (2014).
- **37**. T. V. Perevalov and D. R. Islamov, Comp. Mater. Sci. **233**, 112708 (2024).
- **38**. D. H. Douma, L. T. Poaty, A. Lamperti et al., Beilstein J. Nanotechnol. **13**, 975 (2022).
- A. A. Pil'nik, A. A. Chernov, and D. R. Islamov, Sci. Rep. 11, 10163 (2021).
- A. A. Pil'nik, A. A. Chernov, and D. R. Islamov, Sci. Rep. 10, 15759 (2020).